

机械与运载工程学院

# 机械CAE基础

主讲：张见明

cae\_fundamental@sohu.com  
Pwd:123456789



Lectures

cae\_question@sohu.com



Questions

cae\_homework@sohu.com



Homework

提交作业的邮件名称=学号+姓名+作业号

例如：s09022222扬帆第1次作业

## 有关本课程的几点说明

课时：32学时（8学时/周，共4周）

授课方式：大课讲解（32学时）

考试（100分满分）：

1. 平时作业---20% .
2. 平时提问---10% .
3. 编写程序---20% .
4. 结束笔试---50% .

笔试方式：开卷

笔试时间：待定

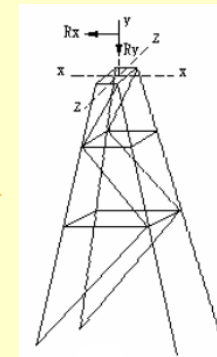
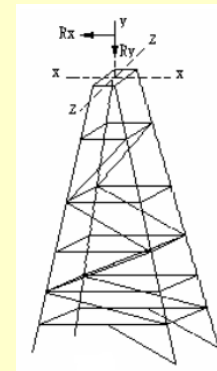
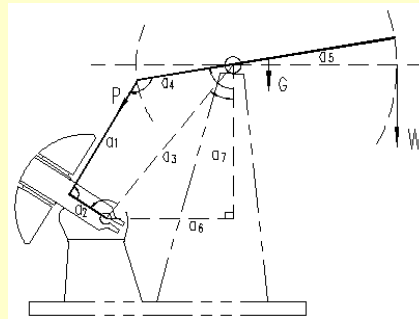
程序考核时间：待定

## 参考教材：

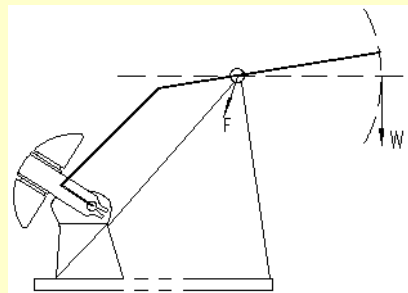
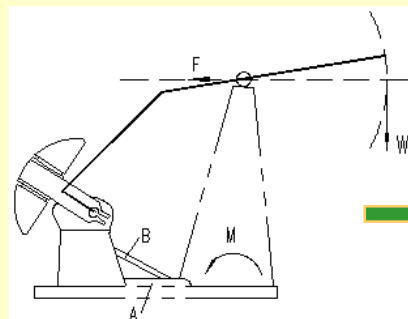
- 1、朱郁森、刘金枝主编， 数学物理方程， 湖南大学出版社。
- 2、王勖成等， 有限元法基本原理和数值方法， 清华大学出版社。
- 3、曾金平主编， 数值计算方法， 湖南大学出版社。
- 4、李庆阳等， 数值分析， 清华大学出版社。

# Examples of industrial work

- Sampson post of pumping unit (1991-1992)



➤ Further improvement

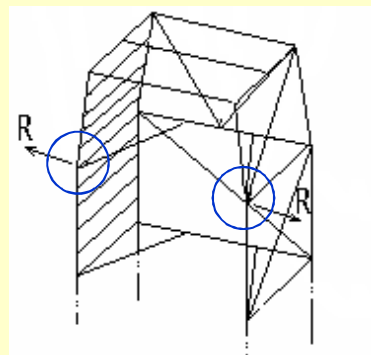
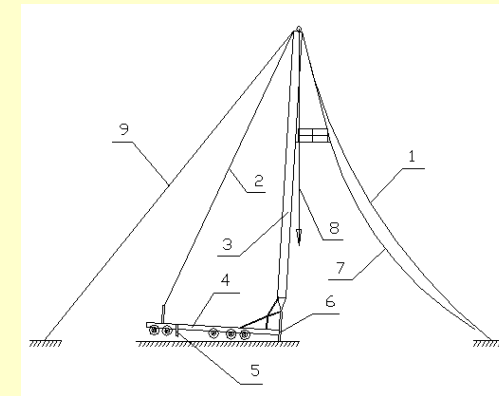


Mass:  
2280kg  
Displacement:  
4.4 mm  
Max. stress:  
132 MPa

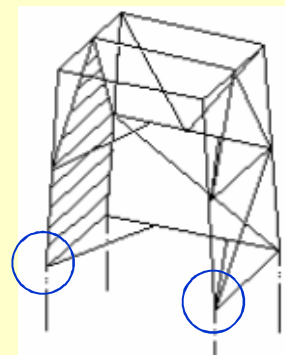
Mass:  
1421kg  
Displacement:  
3.1 mm  
Max. stress:  
58 MPa

# Examples of industrial work (2)

- Workover rig mast (1993-1994)



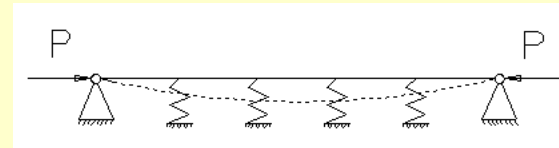
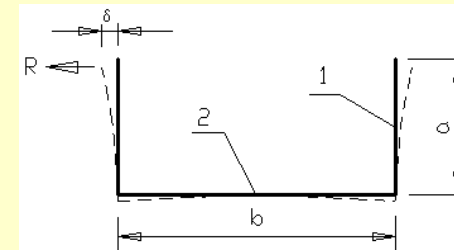
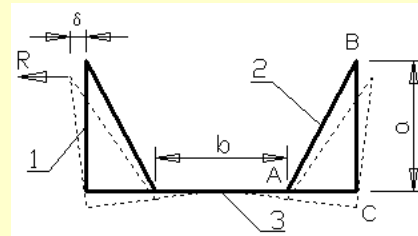
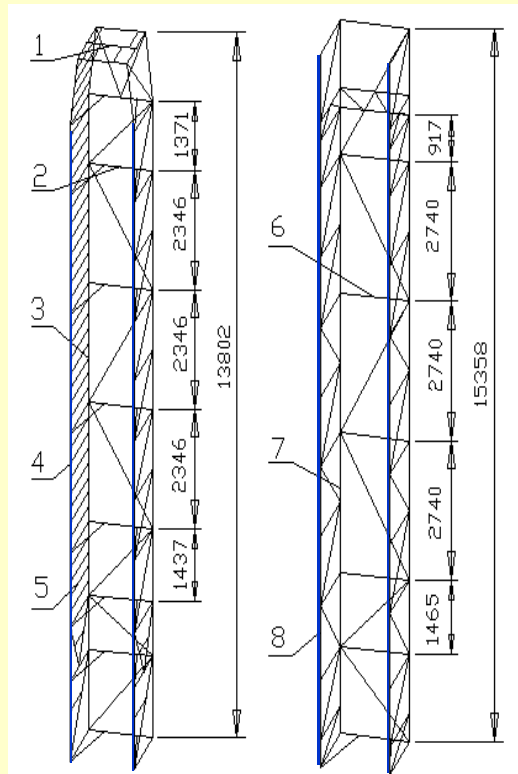
Max. stress: 325 MPa



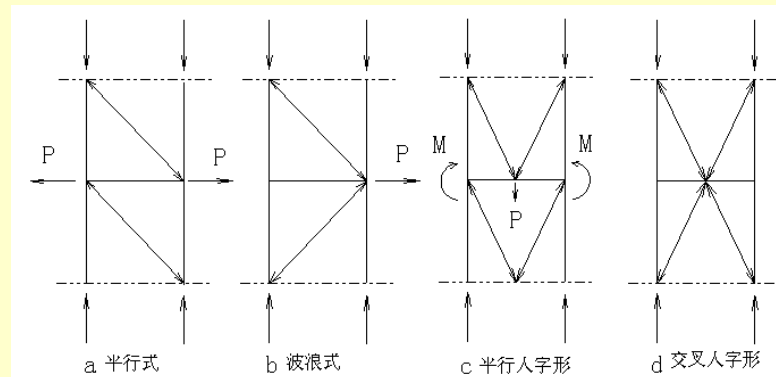
Max. stress: 180 MPa

# Examples of industrial work (3)

## ➤ Further studies

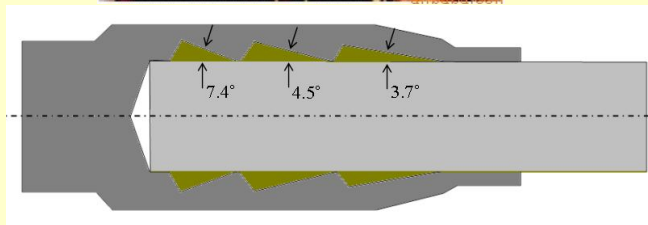
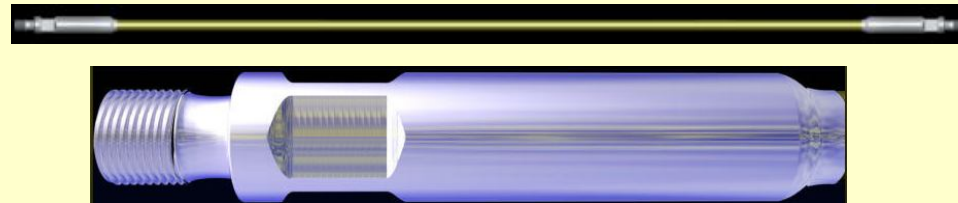


L140X140X12/16Mn  $\longrightarrow$  I160×88×6/A3

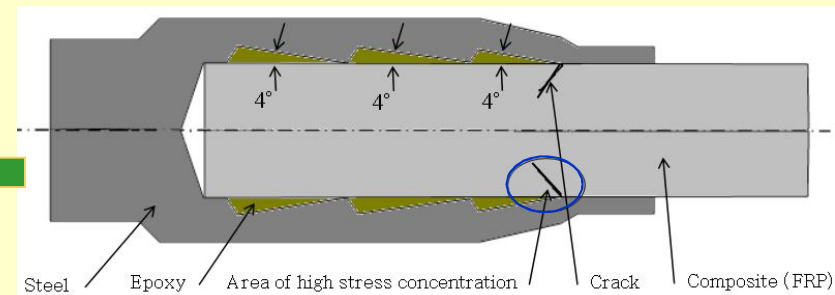


# Examples of industrial work (4)

- FRP sucker rod End-fitting (1997-1998)

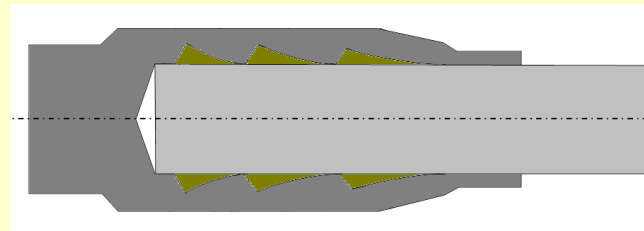


Fatigue cycles: 6.9 million



Fatigue cycles: 2.4 million

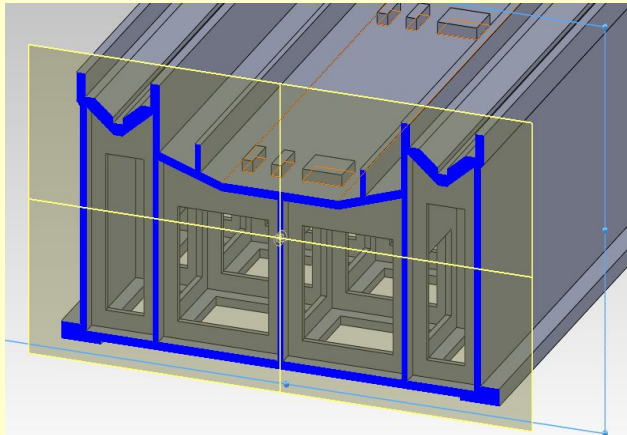
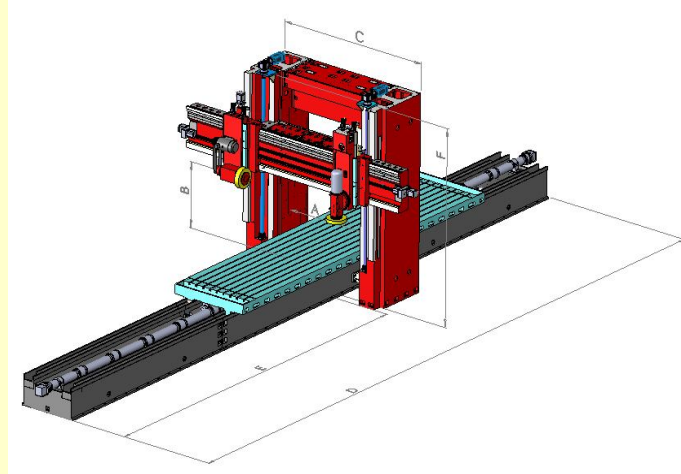
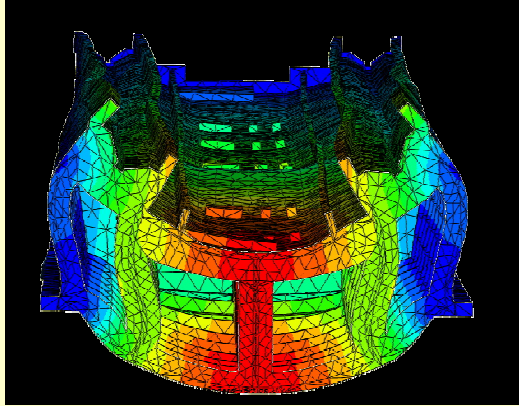
- Idea for further improvement



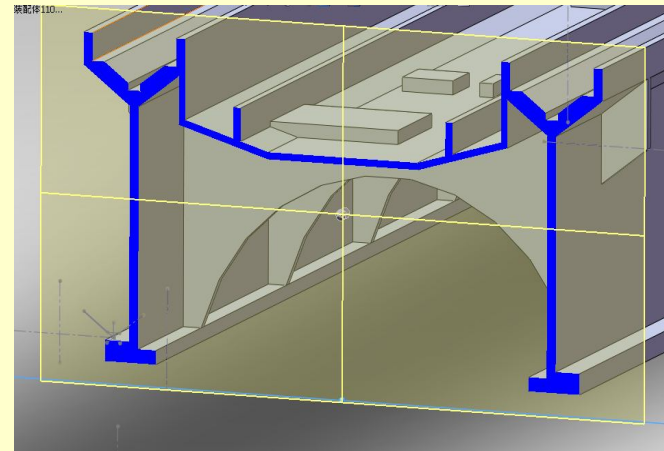


# Examples of industrial work (5)

- 龙门导轨磨床(2011)



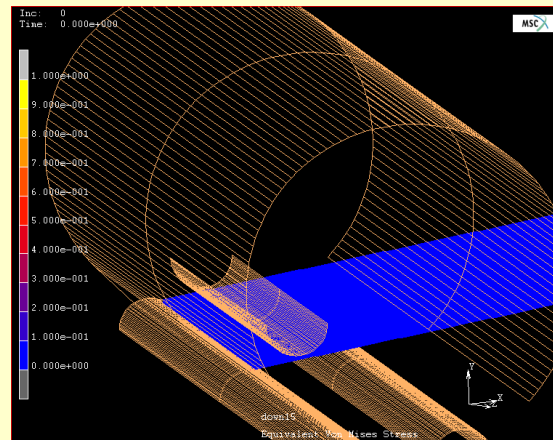
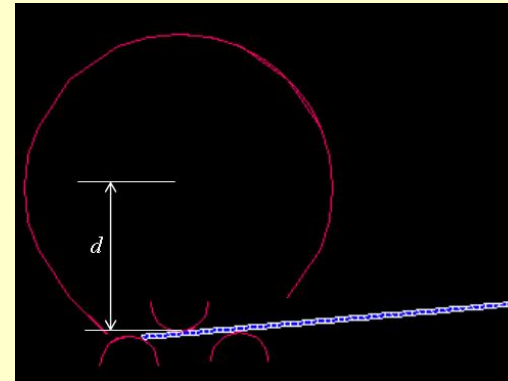
床身重量: 39.598吨  
导轨最大变形:  $8.1e^{-2}$ mm

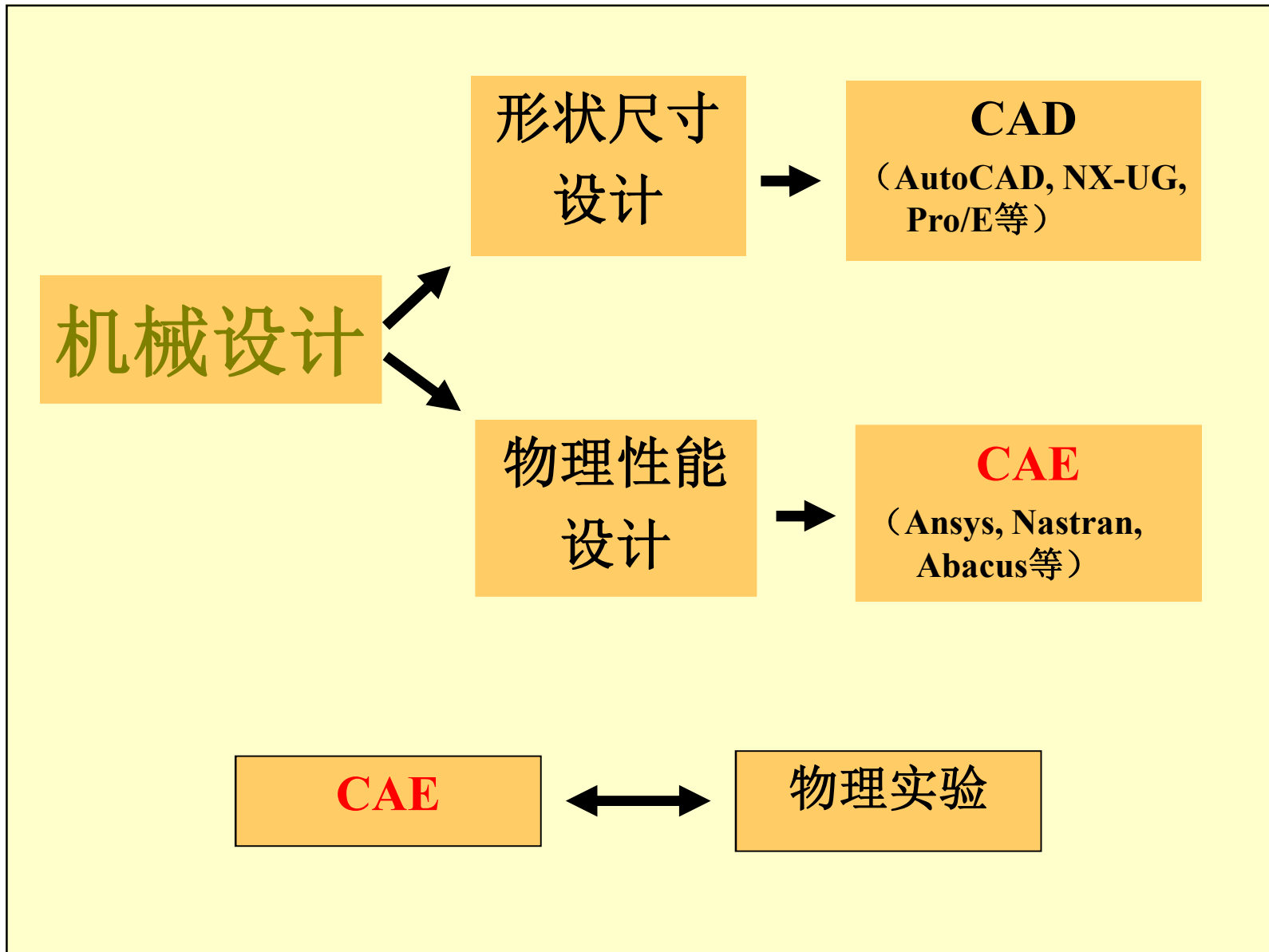


床身重量: 25.274吨  
导轨最大变形:  $6.5e^{-2}$  mm

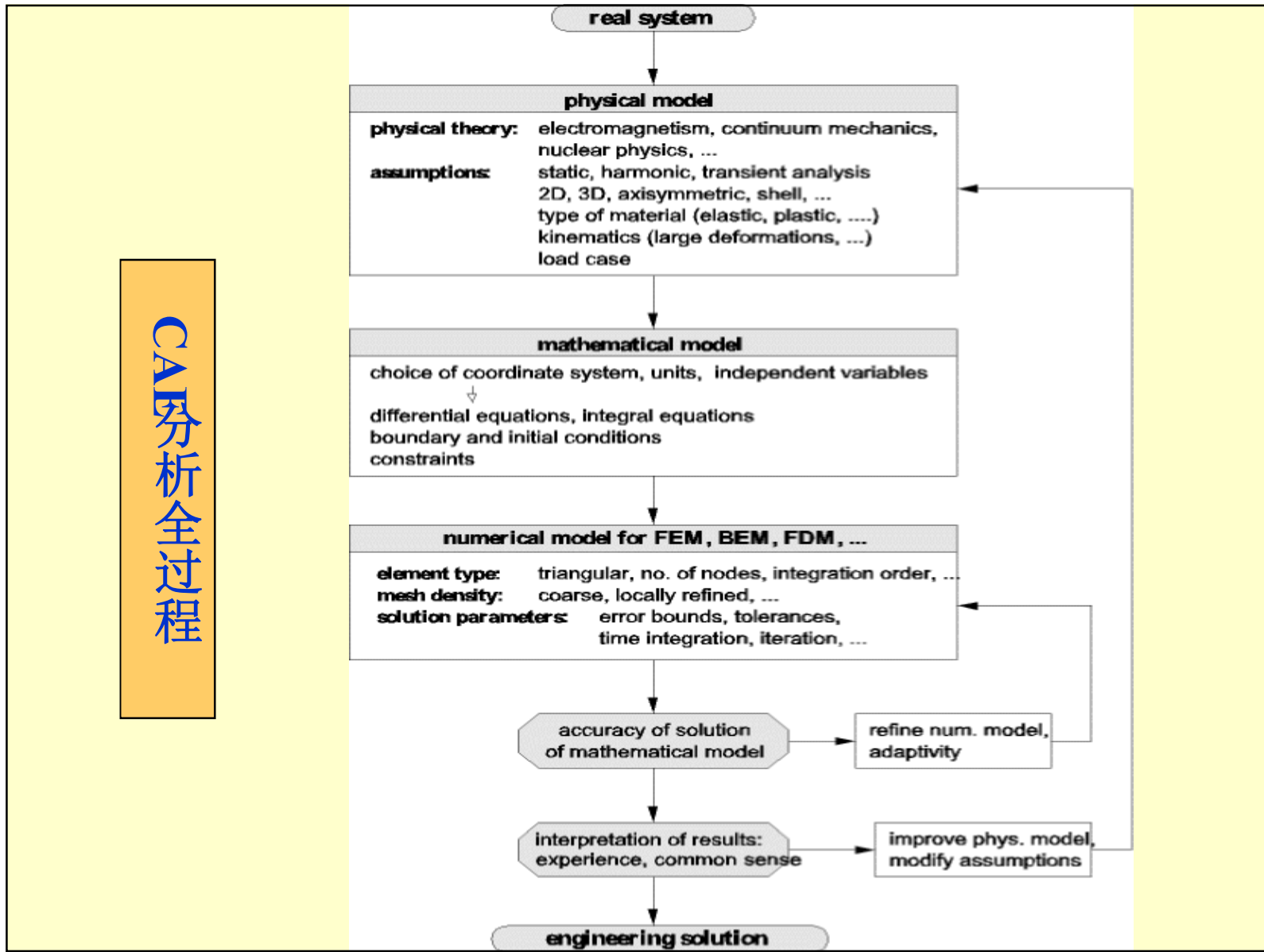
# Examples of industrial work (6)

- Forming process of spiral welded pipes (1999)



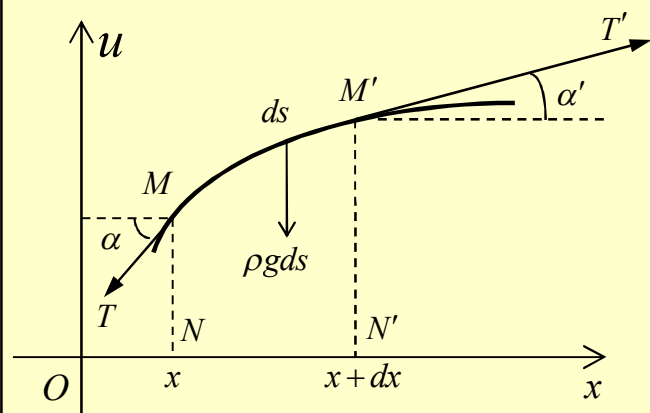


CAE分析全过程



## 微分方程的建立

### ➤ 弦的振动



弧段  $MM'$  在  $x$  方向平衡:

$$T' \cos \alpha' - T \cos \alpha = 0$$

根据微小振动假设, 即:  $\alpha \approx 0, \alpha' \approx 0$

$$\text{由 } \cos \alpha = 1 - \frac{\alpha^2}{2!} + \frac{\alpha^4}{4!} - \dots$$

略去二阶小量得到  $\cos \alpha \approx 1, \cos \alpha' \approx 1$

$$\text{于是 } T = T'$$

弧段  $MM'$  在  $u$  方向的运动方程:

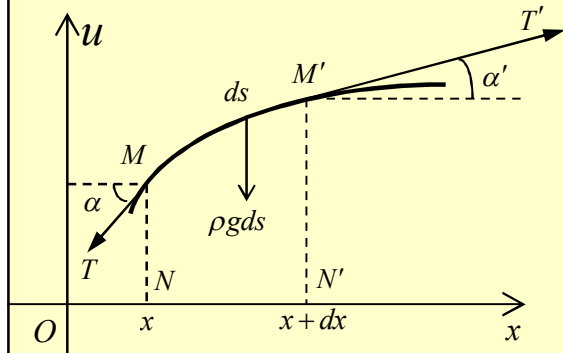
$$-T \sin \alpha + T' \sin \alpha' - \rho g ds \approx \rho ds \frac{\partial^2 u(x, t)}{\partial t^2}$$

其中

$$\sin \alpha = \frac{tg \alpha}{\sqrt{1 + tg^2 \alpha}} \approx tg \alpha = \frac{\partial u(x, t)}{\partial x}$$

$$\sin \alpha' \approx tg \alpha' = \frac{\partial u(x + dx, t)}{\partial x}$$

$$ds = \sqrt{1 + \left[ \frac{\partial u(x, t)}{\partial x} \right]^2} dx \approx dx$$



于是

$$T \left[ \frac{\partial u(x + dx, t)}{\partial x} - \frac{\partial u(x, t)}{\partial x} \right] - \rho g dx \approx \rho \frac{\partial^2 u(x, t)}{\partial t^2} dx$$

$$T \left[ \frac{\partial u(x+dx, t)}{\partial x} - \frac{\partial u(x, t)}{\partial x} \right] - \rho g dx \approx \rho \frac{\partial^2 u(x, t)}{\partial t^2} dx$$

由于

$$\frac{\partial u(x+dx, t)}{\partial x} - \frac{\partial u(x, t)}{\partial x} \approx \frac{\partial}{\partial x} \left[ \frac{\partial u(x, t)}{\partial x} \right] dx = \frac{\partial^2 u(x, t)}{\partial x^2} dx$$

得到

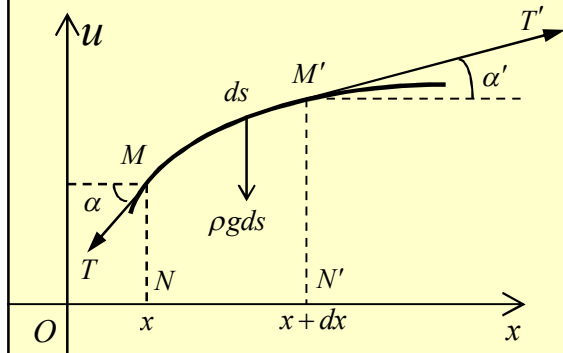
$$\left[ T \frac{\partial^2 u(x, t)}{\partial x^2} - \rho g \right] dx \approx \rho \frac{\partial^2 u(x, t)}{\partial t^2} dx$$

或者

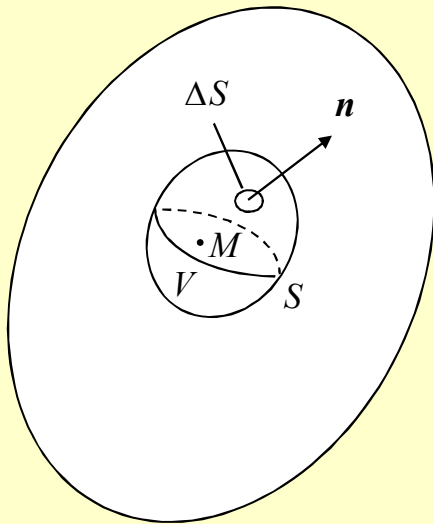
$$\frac{T}{\rho} \frac{\partial^2 u(x, t)}{\partial x^2} \approx \frac{\partial^2 u(x, t)}{\partial t^2} + g$$

忽略g, 最后得到

$$\frac{\partial^2 u}{\partial t^2} = a^2 \frac{\partial^2 u}{\partial x^2} \quad a^2 = \frac{T}{\rho}$$



## ➤ 热传导方程



对于任意体积 $V$ 的表面 $S$ 上的微元 $\Delta S$ , 根据Fourier热传导定理, 在 $dt$ 时间内, 有:

$$\begin{aligned}dQ &= -k \frac{\partial u}{\partial n} dS dt \\ &= -k(\text{gradu})_n dS dt = -k \text{gradu} \cdot d\mathbf{S} dt\end{aligned}$$

则从 $t_1$ 到 $t_2$ 时刻, 通过 $S$ 流入区域 $V$ 的全部热量为

$$Q_1 = \int_{t_1}^{t_2} \left[ \iint_S k \text{gradu} \cdot d\mathbf{S} \right] dt$$

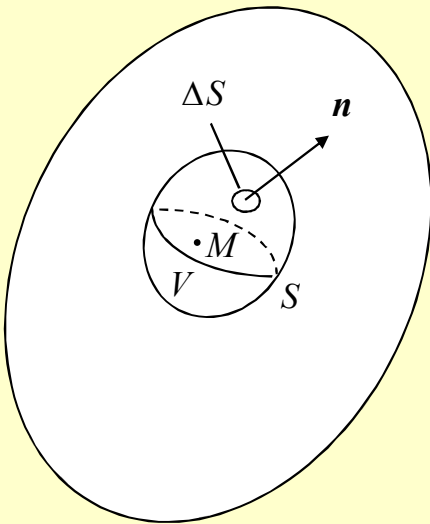
根据奥-高公式

$$\iint_S k \text{gradu} \cdot d\mathbf{S} = \iiint_V k \text{div grad} u dV = \iiint_V k \nabla^2 u dV$$

得到

$$Q_1 = \int_{t_1}^{t_2} \left[ \iiint_V k \nabla^2 u dV \right] dt$$





区域 $V$ 内各点的温度从 $u(x,y,z, t_1)$ 变化到 $u(x,y,z, t_2)$ 所需要的热量为

$$\begin{aligned} & \iiint_V c\rho [u(x,y,z,t_2) - u(x,y,z,t_1)] dV \\ &= \iiint_V c\rho \left( \int_{t_1}^{t_2} \frac{\partial u}{\partial t} dt \right) dV = \int_{t_1}^{t_2} \left[ \iiint_V c\rho \frac{\partial u}{\partial t} dV \right] dt \end{aligned}$$

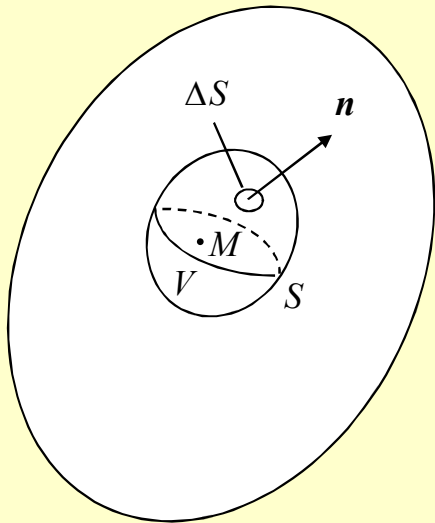
由于能量守恒, 有

$$\int_{t_1}^{t_2} \left[ \iiint_V k \nabla^2 u dV \right] dt = \int_{t_1}^{t_2} \left[ \iiint_V c\rho \frac{\partial u}{\partial t} dV \right] dt$$

由于时间间隔 $[t_1, t_2]$ 及域 $V$ 都是任意取的, 上式中被积函数应恒等, 即

$$\frac{\partial u}{\partial t} = a^2 \nabla^2 u = a^2 \left( \frac{\partial^2 u}{\partial x^2} + \frac{\partial^2 u}{\partial y^2} + \frac{\partial^2 u}{\partial z^2} \right) \quad a^2 = \frac{k}{c\rho}$$

$$\frac{\partial u}{\partial t} = a^2 \nabla^2 u = a^2 \left( \frac{\partial^2 u}{\partial x^2} + \frac{\partial^2 u}{\partial y^2} + \frac{\partial^2 u}{\partial z^2} \right) \quad a^2 = \frac{k}{c\rho}$$



在上面的推导中，假定了 $k$ 是常数。

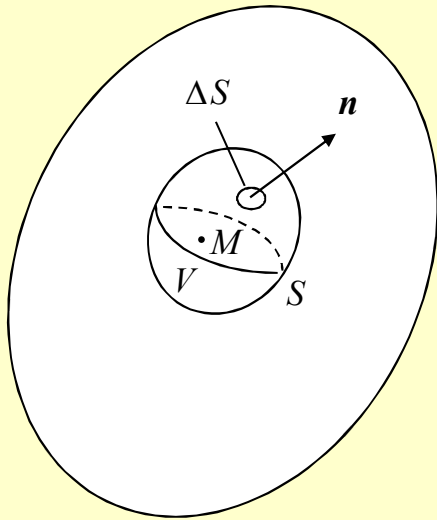
若 $k$ 随位置变化，即是坐标的函数 $k(x,y,z)$ ，则该问题是非均质问题；

若 $k$ 依赖温度，即是温度的函数 $k(u)$ ，则问题变成非线性问题；

若考虑稳态温度场，温度不随时间变化，则得到拉普拉斯方程：

$$\nabla^2 u = \frac{\partial^2 u}{\partial x^2} + \frac{\partial^2 u}{\partial y^2} + \frac{\partial^2 u}{\partial z^2} = 0$$

➤ 弹性力学方程



根据Newton第二定理:

$$F = ma$$

对于体积 $V$ 有

$$\iint_S \mathbf{t} \cdot d\mathbf{S} + \iiint_V \mathbf{f} dV = \iiint_V \rho \ddot{\mathbf{u}} dV$$

根据奥-高公式

$$\iint_S \mathbf{t} dS = \iint_S \mathbf{n} \cdot \boldsymbol{\sigma} dS = \iiint_V \nabla \cdot \boldsymbol{\sigma} dV$$

考虑 $V$ 的任意性, 得到连续体的运动方程

$$\nabla \cdot \boldsymbol{\sigma} + \mathbf{f} = \rho \ddot{\mathbf{u}} \quad \forall \mathbf{x} \in V$$

对于静力问题, 得到平衡方程

$$\nabla \cdot \boldsymbol{\sigma} + \mathbf{f} = \mathbf{0} \quad \forall \mathbf{x} \in V$$

$$\nabla \square \sigma + \mathbf{f} = \mathbf{0} \quad \forall \mathbf{x} \in V$$

引入几何方程

$$\varepsilon_{ij} = \frac{1}{2}(u_{i,j} + u_{j,i}) \quad \text{或} \quad \boldsymbol{\varepsilon} = \frac{1}{2}(\nabla \mathbf{u} + \mathbf{u} \nabla)$$

和本构方程

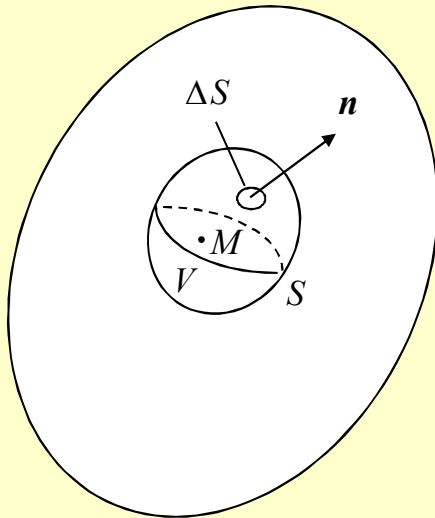
$$\sigma_{ij} = \lambda \varepsilon_{kk} \delta_{ij} + G(u_{i,j} + u_{j,i}) \quad \text{或} \quad \boldsymbol{\sigma} = \lambda [(\boldsymbol{\varepsilon} : \mathbf{I}) \mathbf{I} + 2G\boldsymbol{\varepsilon}]$$

得到Lame-Navier方程

$$(\lambda + G)u_{j,ji} + Gu_{i,jj} + f_i = 0$$

或

$$(\lambda + G)\nabla \nabla \square \mathbf{u} + G\nabla \square \nabla \mathbf{u} + \mathbf{f} = \mathbf{0} \quad \forall \mathbf{x} \in V$$



## 初始条件与边界条件

### ■ 初始条件

说明某一具体物理现象的初始状态的条件称为初始条件。

#### ➤ 弦的振动

$$\begin{cases} u|_{t=0} = \varphi(x) \\ \left. \frac{\partial u}{\partial t} \right|_{t=0} = \psi(x) \end{cases}$$

#### ➤ 热传导问题

$$u(M, t)|_{t=0} = \varphi(M)$$

#### ➤ 弹性力学问题

$$\begin{cases} \mathbf{u}(M, t)|_{t=0} = \boldsymbol{\varphi}(M) \\ \left. \frac{\partial \mathbf{u}(M, t)}{\partial t} \right|_{t=0} = \boldsymbol{\psi}(M) \end{cases}$$

## ■ 边界条件

说明某一具体物理现象的域边界上的约束条件的条件称为边界条件。

### ➤ 弦的振动

#### ■ 固定端

$$u|_{x=a} = 0$$

#### ■ 自由端

$$T \frac{\partial u}{\partial x} \Big|_{x=a} = 0 \quad \text{或} \quad \frac{\partial u}{\partial x} \Big|_{x=a} = 0$$

#### ■ 弹性支承端

$$T \frac{\partial u}{\partial x} \Big|_{x=a} = -k u|_{x=a} \quad \text{或} \quad \left( \frac{\partial u}{\partial x} + \sigma u \right) \Big|_{x=a} = 0, \quad \sigma = k/T$$

➤ 热传导问题

- 恒温边界（Dirichlet边界条件）

$$u|_S = f$$

- 绝热边界（Neumann边界条件）

$$\left. \frac{\partial u}{\partial x} \right|_S = 0$$

- 热交换边界（Robin边界条件）

$$-k \left. \frac{\partial u}{\partial x} \right|_S = k_1 (-u_1)|_S \quad \text{或} \quad \left. \left( \frac{\partial u}{\partial x} + \sigma u \right) \right|_S = \sigma u_1, \quad \sigma = k_1 / k$$

➤ 弹性力学问题

■ 位移边界条件

$$u|_{S_u} = \bar{u}$$

■ 面力边界条件

$$\sigma \cdot n|_{S_\sigma} = \bar{T}$$

或

$$\sigma_{11}n_1 + \sigma_{12}n_2 + \sigma_{13}n_3 = \bar{T}_1$$

$$\sigma_{21}n_1 + \sigma_{22}n_2 + \sigma_{23}n_3 = \bar{T}_2$$

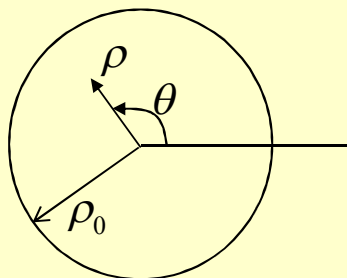
$$\sigma_{31}n_1 + \sigma_{32}n_2 + \sigma_{33}n_3 = \bar{T}_3$$

■ 接触边界条件

略



## 边值问题的理论解



拉普拉斯方程  $\nabla^2 u = 0$

边界条件  $u|_{\rho=\rho_0} = f(\theta)$

在极坐标系下

$$\begin{cases} \nabla^2 u = \frac{1}{\rho} \frac{\partial}{\partial \rho} \left( \rho \frac{\partial u}{\partial \rho} \right) + \frac{1}{\rho^2} \frac{\partial^2 u}{\partial \theta^2} = 0, \quad \rho < \rho_0 \\ u(\rho_0, \theta) = f(\theta) \end{cases}$$

令  $u(\rho, \theta) = R(\rho)\Phi(\theta)$

得到  $R''\Phi + \frac{1}{\rho}R'\Phi + \frac{1}{\rho^2}R\Phi'' = 0$

即  $\frac{\rho^2 R'' + \rho R'}{R} = -\frac{\Phi''}{\Phi}$

令 
$$\frac{\rho^2 R'' + \rho R'}{R} = -\frac{\Phi''}{\Phi} = \lambda$$

得到

$$\Phi'' + \lambda \Phi = 0$$

$$\rho^2 R'' + \rho R' - \lambda R = 0$$

由于

$$|R(0)| < +\infty$$

$$\Phi(\theta + 2\pi) = \Phi(\theta)$$

得到

$$\begin{cases} \Phi'' + \lambda \Phi = 0 \\ \Phi(\theta + 2\pi) = \Phi(\theta) \end{cases} \quad (1)$$

及

$$\begin{cases} \rho^2 R'' + \rho R' - \lambda R = 0 \\ |R(0)| < +\infty \end{cases} \quad (2)$$

对于问题 (1)

$$\begin{cases} \Phi'' + \lambda \Phi = 0 \\ \Phi(\theta + 2\pi) = \Phi(\theta) \end{cases}$$

当  $\lambda < 0$  时, 无非零解;

当  $\lambda = 0$  时, 解为  $\Phi_0(\theta) = a'_0$  (常数);

当  $\lambda = 0$  时, 取  $\lambda = \beta^2$ , 解为

$$\Phi_\beta(\theta) = a'_\beta \cos \beta\theta + b'_\beta \sin \beta\theta$$

为使  $\Phi(\theta)$  以  $2\pi$  为周期,  $\beta$  必须是整数  $n$ , 于是

$$\Phi_n(\theta) = a'_n \cos n\theta + b'_n \sin n\theta$$

对于问题 (2)

$$\begin{cases} \rho^2 R'' + \rho R' - \lambda R = 0 \\ |R(0)| < +\infty \end{cases}$$

当  $\lambda=0$  时, 解为

$$R_0 = c_0 + d_0 \ln \rho$$

当  $\lambda=n^2$  时, 解为

$$R_n = c_n \rho^n + d_n \rho^{-n} \quad (n=1, 2, 3, \dots)$$

为保证  $|R(0)| < +\infty$

$$R_n = c_n \rho^n \quad (n=1, 2, 3, \dots)$$

结合问题 (1) 的解, 有

$$u(\rho, \theta) = \frac{a_0}{2} + \sum_{n=1}^{\infty} \rho^n (a_n \cos n\theta + b_n \sin n\theta)$$

$$u(\rho, \theta) = \frac{a_0}{2} + \sum_{n=1}^{\infty} \rho^n (a_n \cos n\theta + b_n \sin n\theta)$$

利用边界条件  $u|_{\rho=\rho_0} = f(\theta)$ , 得

$$f(\theta) = \frac{a_0}{2} + \sum_{n=1}^{\infty} \rho_0^n (a_n \cos n\theta + b_n \sin n\theta)$$

因此,  $a_0, \rho_0^n a_n, \rho_0^n b_n$

就是  $f(\theta)$  展开为 Fourier 级数时的系数, 即有

$$\begin{cases} a_0 = \frac{1}{\pi} \int_0^{2\pi} f(\theta) d\theta \\ a_n = \frac{1}{\rho_0^n \pi} \int_0^{2\pi} f(\theta) \cos n\theta d\theta \\ b_n = \frac{1}{\rho_0^n \pi} \int_0^{2\pi} f(\theta) \sin n\theta d\theta \end{cases}$$

## 作业：

1. 有一均匀杆，只要杆中任一小段有纵向位移或速度，必导致邻段的压缩或伸长，这种伸缩传开去，就有纵波沿着杆传播。试推导杆的纵振动方程。

2. 混凝土内部储藏热量，称为水化热，在它浇筑后逐渐释放，放热速度和它所储藏的水化热成正比。以  $Q(t)$  表示它在单位体积中所储存的热量， $Q_0$  初始时刻所储存的热量，则  $dQ/dt = -\beta Q$ ，其中  $\beta$  为正常数。又假设混凝土的比热为  $c$ 、密度为  $\rho$ ，热传导系数为  $k$ ，求它在浇筑后温度  $u$  满足的方程。

## 边值问题的数值解

有限差分法  
**FDM**

有限元法  
**FEM**

边界元法  
**BEM**

有限体积法  
**finite volume method**

多重网格法  
**multigrid method**

无网格法  
**meshless method**

## 有限差分法 (FDM)

由微分学知道

$$u'(x) = \lim_{\Delta x \rightarrow 0} \frac{u(x + \Delta x) - u(x)}{\Delta x} = \lim_{\Delta x \rightarrow 0} \frac{u(x) - u(x - \Delta x)}{\Delta x}$$

$$\begin{aligned} u''(x) &= \lim_{\Delta x \rightarrow 0} \frac{u'(x + \Delta x) - u'(x)}{\Delta x} \\ &= \lim_{\Delta x \rightarrow 0} \frac{1}{\Delta x} \left[ \frac{u(x + \Delta x) - u(x)}{\Delta x} - \frac{u(x) - u(x - \Delta x)}{\Delta x} \right] \\ &= \lim_{\Delta x \rightarrow 0} \frac{u(x + \Delta x) - 2u(x) + u(x - \Delta x)}{(\Delta x)^2} \end{aligned}$$



当 $|\Delta x|$  很小时

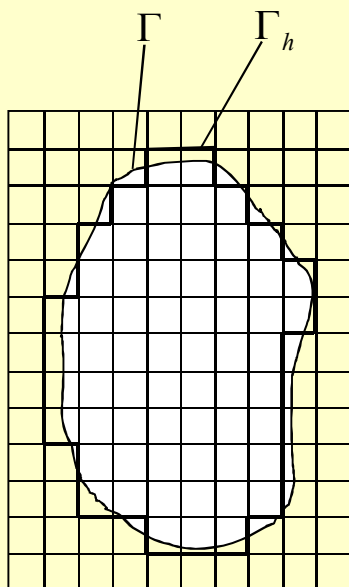
$$u'(x) \approx \frac{u(x + \Delta x) - u(x)}{\Delta x} \quad \text{或} \quad u'(x) \approx \frac{u(x) - u(x - \Delta x)}{\Delta x}$$

$$u''(x) \approx \frac{u(x + \Delta x) - 2u(x) + u(x - \Delta x)}{(\Delta x)^2}$$

因此，拉普拉斯方程  $\frac{\partial^2 u}{\partial x^2} + \frac{\partial^2 u}{\partial y^2} = 0$

可以近似为

$$\frac{u(x + \Delta x, y) - 2u(x, y) + u(x - \Delta x, y)}{(\Delta x)^2} + \frac{u(x, y + \Delta y) - 2u(x, y) + u(x, y - \Delta y)}{(\Delta y)^2} = 0$$



用平行于坐标轴的两族直线

$$x_i = x_0 + ih \quad y_i = y_0 + ih$$

将求解域  $\Omega$  划分为规则的网格，于是

$$\frac{\partial^2 u}{\partial x^2} \Big|_{(x_i, y_j)} \approx \frac{u(x_i + h, y_j) - 2u(x_i, y_j) + u(x_i - h, y_j)}{h^2}$$

$$\frac{\partial^2 u}{\partial y^2} \Big|_{(x_i, y_j)} \approx \frac{u(x_i, y_j + h) - 2u(x_i, y_j) + u(x_i, y_j - h)}{h^2}$$

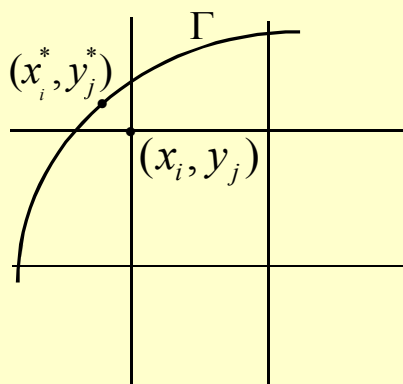
将边界  $\Gamma$  近似为  $\Gamma_h$ ，规定

$$u \Big|_{(x_i, y_j) \in \Gamma_h} = f(x_i^*, y_j^*)$$

于是拉普拉斯方程变为

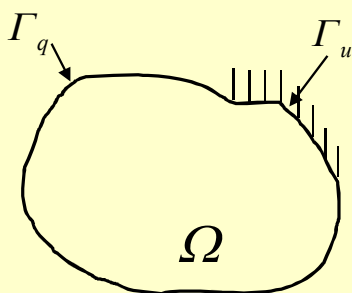
$$U_{i+1, j} + U_{i, j+1} + U_{i-1, j} + U_{i, j-1} - 4U_{i, j} = 0$$

其中  $U_{i, j}$  表示解  $u(x, y)$  在结点  $(x_i, y_j)$  处的近似值



## 有限元法 (FEM)

### 二维稳态热传导问题



$$\Gamma_u \cup \Gamma_q = \Gamma, \quad \Gamma_u \cap \Gamma_q = \emptyset$$

$$\nabla^2 u = \frac{\partial^2 u}{\partial x^2} + \frac{\partial^2 u}{\partial y^2} = 0 \quad (\text{在 } \Omega \text{ 内})$$

$$u - \bar{u} = 0 \quad (\text{在 } \Gamma_u \text{ 上})$$

$$k \frac{\partial u}{\partial n} - \bar{q} = 0 \quad (\text{在 } \Gamma_q \text{ 上})$$

### 等效弱积分形式

$$\int_{\Omega} v \left( \frac{\partial^2 u}{\partial x^2} + \frac{\partial^2 u}{\partial y^2} \right) dx dy + \int_{\Gamma_q} \bar{v} \left( k \frac{\partial u}{\partial n} - \bar{q} \right) d\Gamma = 0$$

其中  $v$  为任意函数

由于

$$\int_{\Omega} v \frac{\partial^2 u}{\partial x^2} dx dy = - \int_{\Omega} \frac{\partial v}{\partial x} \frac{\partial u}{\partial x} dx dy + \int_{\Omega} \frac{\partial}{\partial x} \left( v \frac{\partial u}{\partial x} \right) dx dy$$

$$\int_{\Omega} v \frac{\partial^2 u}{\partial y^2} dx dy = - \int_{\Omega} \frac{\partial v}{\partial y} \frac{\partial u}{\partial y} dx dy + \int_{\Omega} \frac{\partial}{\partial y} \left( v \frac{\partial u}{\partial y} \right) dx dy$$

得到

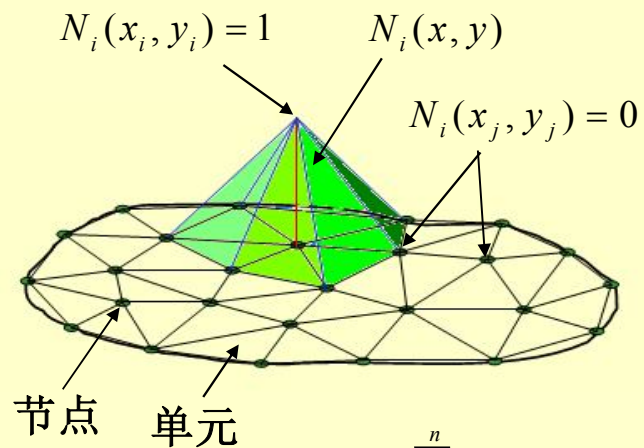
$$\begin{aligned} & \int_{\Omega} v \left( \frac{\partial^2 u}{\partial x^2} + \frac{\partial^2 u}{\partial y^2} \right) dx dy \\ &= - \int_{\Omega} \left( \frac{\partial v}{\partial x} \frac{\partial u}{\partial x} + \frac{\partial v}{\partial y} \frac{\partial u}{\partial y} \right) dx dy + \int_{\Omega} \frac{\partial}{\partial x} \left( v \frac{\partial u}{\partial x} \right) dx dy + \int_{\Omega} \frac{\partial}{\partial y} \left( v \frac{\partial u}{\partial y} \right) dx dy \\ &= - \int_{\Omega} \left( \frac{\partial v}{\partial x} \frac{\partial u}{\partial x} + \frac{\partial v}{\partial y} \frac{\partial u}{\partial y} \right) dx dy + \int_{\Gamma} v \frac{\partial u}{\partial x} n_x + v \frac{\partial u}{\partial y} n_y d\Gamma \\ &= - \int_{\Omega} \left( \frac{\partial v}{\partial x} \frac{\partial u}{\partial x} + \frac{\partial v}{\partial y} \frac{\partial u}{\partial y} \right) dx dy + \int_{\Gamma} v \frac{\partial u}{\partial n} d\Gamma \end{aligned}$$

于是

$$\begin{aligned} & \int_{\Omega} v \left( \frac{\partial^2 u}{\partial x^2} + \frac{\partial^2 u}{\partial y^2} \right) dx dy + \int_{\Gamma_q} \bar{v} \left( \frac{\partial u}{\partial n} - \bar{q} \right) d\Gamma \\ &= - \int_{\Omega} \left( \frac{\partial v}{\partial x} \frac{\partial u}{\partial x} + \frac{\partial v}{\partial y} \frac{\partial u}{\partial y} \right) dx dy + \int_{\Gamma} v \frac{\partial u}{\partial n} d\Gamma + \int_{\Gamma_q} \bar{v} \left( \frac{\partial u}{\partial n} - \bar{q} \right) d\Gamma \\ &= - \int_{\Omega} \left( \frac{\partial v}{\partial x} \frac{\partial u}{\partial x} + \frac{\partial v}{\partial y} \frac{\partial u}{\partial y} \right) dx dy + \int_{\Gamma_q} (v + \bar{v}) \frac{\partial u}{\partial n} d\Gamma + \int_{\Gamma_u} v \frac{\partial u}{\partial n} d\Gamma - \int_{\Gamma_q} \bar{v} \bar{q} d\Gamma \\ &= 0 \end{aligned}$$

假定  $v = -\bar{v}$ ，且在  $\Gamma_u$  边界上  $v = 0$ ，得到

$$\int_{\Omega} \left( \frac{\partial v}{\partial x} \frac{\partial u}{\partial x} + \frac{\partial v}{\partial y} \frac{\partial u}{\partial y} \right) dx dy = \int_{\Gamma_q} v \bar{q} d\Gamma$$



将未知函数 $u$ 近似为

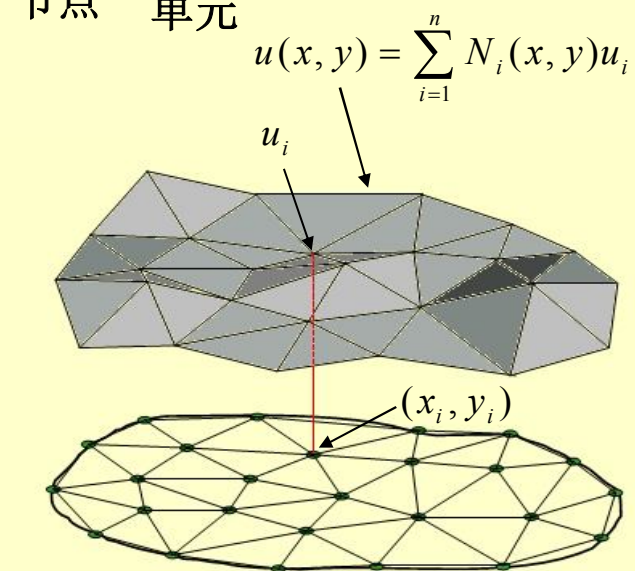
$$u(x, y) = N_1u_1 + N_2u_2 + \cdots + N_nu_n$$

$$= \sum_{j=1}^n N_j(x, y)u_j$$

得到

$$\sum_{j=1}^n \int_{\Omega} \left( \frac{\partial v}{\partial x} \frac{\partial N_j}{\partial x} + \frac{\partial v}{\partial y} \frac{\partial N_j}{\partial y} \right) dx dy \times u_j$$

$$= \int_{\Gamma_q} v \bar{q} d\Gamma$$



由于 $v$ 是任意的，令 $v$ 分别等于 $N_1$ 到 $N_n$ ，就得到 $n$ 个代数方程

$$\sum_{j=1}^n \int_{\Omega} \left( \frac{\partial N_i}{\partial x} \frac{\partial N_j}{\partial x} + \frac{\partial N_i}{\partial y} \frac{\partial N_j}{\partial y} \right) dx dy \times u_j = \int_{\Gamma_q} N_i \bar{q} d\Gamma \quad (j=1,2,\dots,n)$$

用矩阵表示为

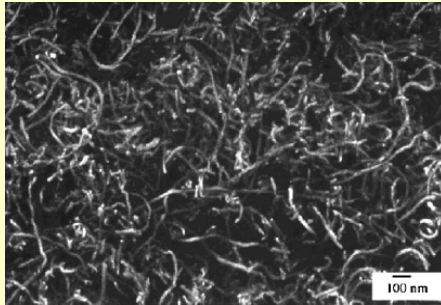
$$\mathbf{A}\mathbf{u} = \mathbf{f}$$

其中

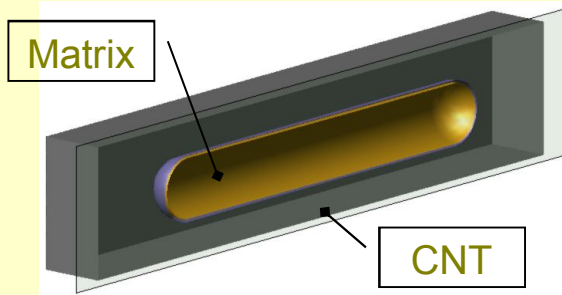
$$\mathbf{A} = \begin{bmatrix} a_{11} & a_{12} & \cdots & a_{1n} \\ a_{21} & a_{22} & \cdots & a_{2n} \\ \vdots & \vdots & \ddots & \vdots \\ a_{n1} & a_{n2} & \cdots & a_{nn} \end{bmatrix} \quad a_{ij} = \int_{\Omega} \left( \frac{\partial N_i}{\partial x} \frac{\partial N_j}{\partial x} + \frac{\partial N_i}{\partial y} \frac{\partial N_j}{\partial y} \right) dx dy$$

$$\mathbf{u} = \begin{Bmatrix} u_1 \\ u_2 \\ \vdots \\ u_n \end{Bmatrix} \quad \mathbf{f} = \begin{Bmatrix} f_1 \\ f_2 \\ \vdots \\ f_n \end{Bmatrix} \quad f_i = \int_{\Gamma_q} N_i \bar{q} d\Gamma$$

➤ Promising applications

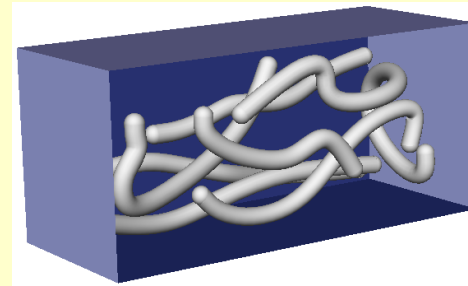


Nanotube-reinforced polymers

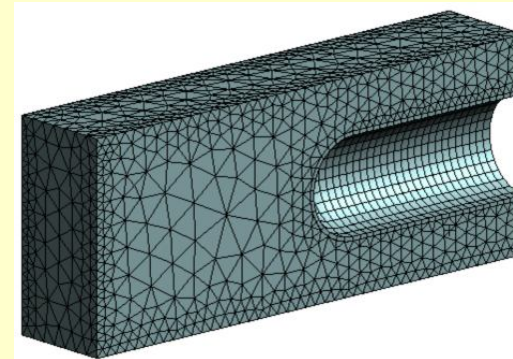


Representative Volume Element (RVE)

➤ Numerical simulation model

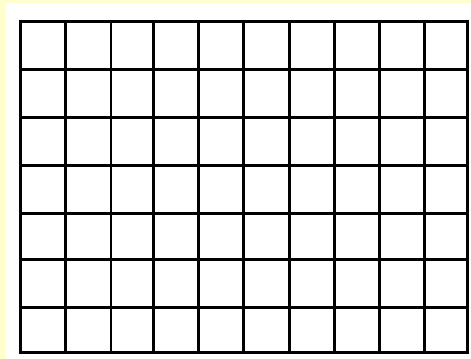


RVE including curved CNTs

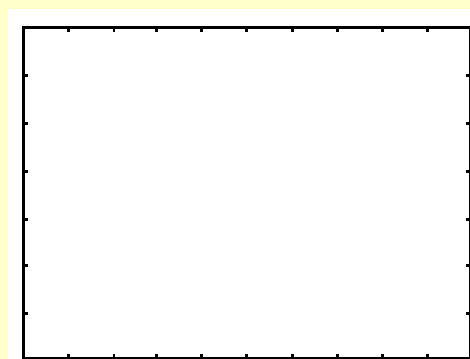


FEM/BEM Mesh for a quarter of an RVE

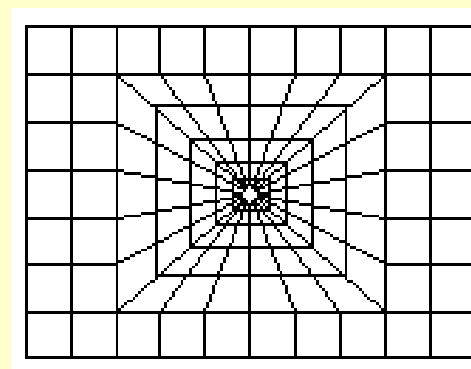




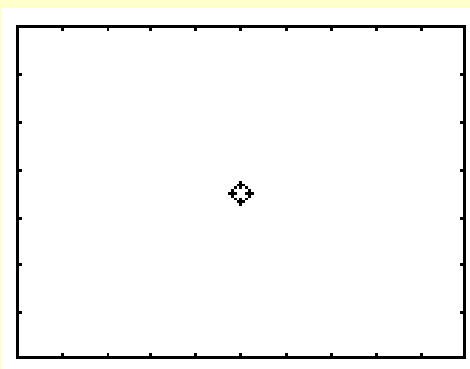
方板的有限元网格



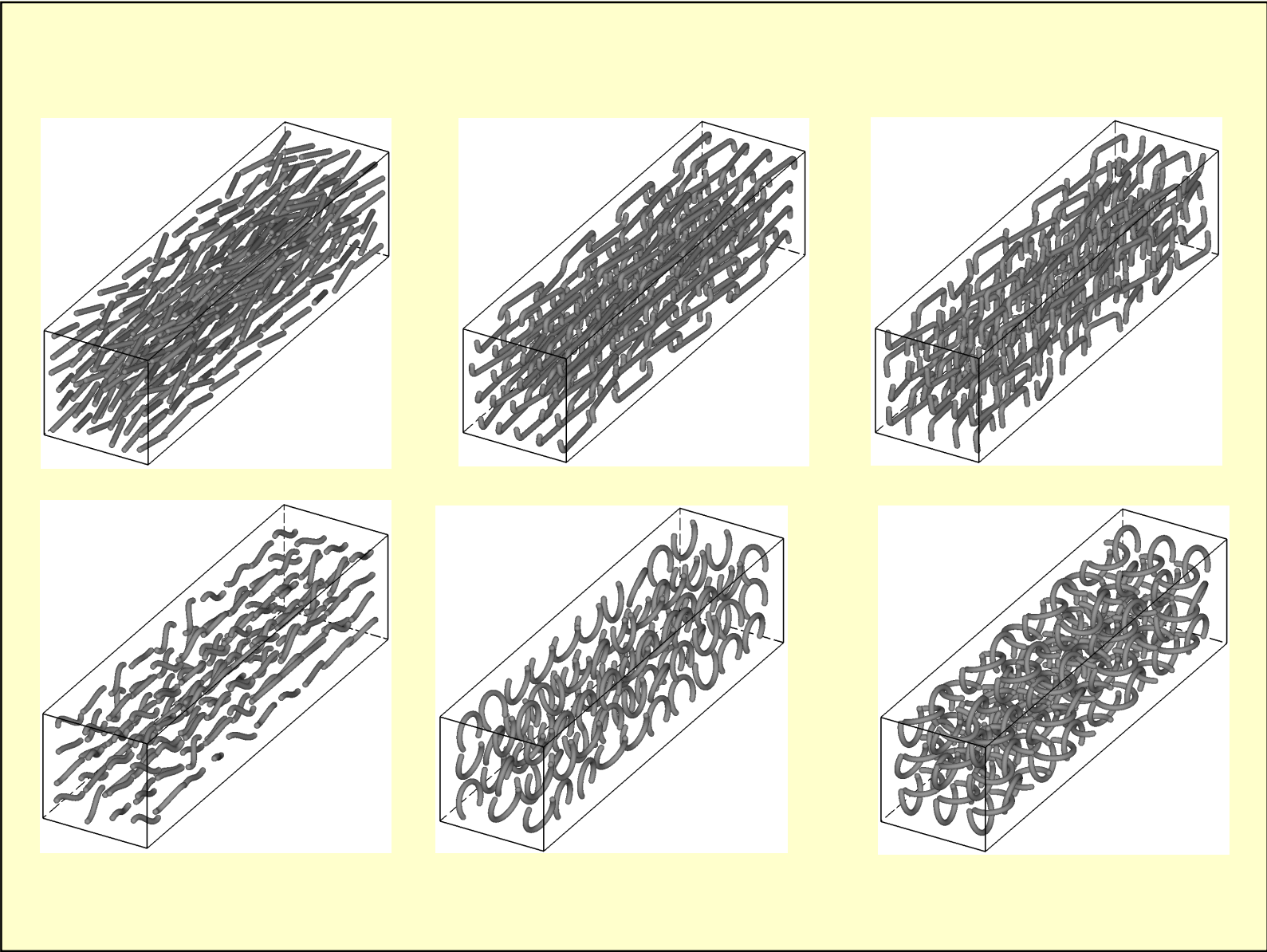
方板的边界元网格



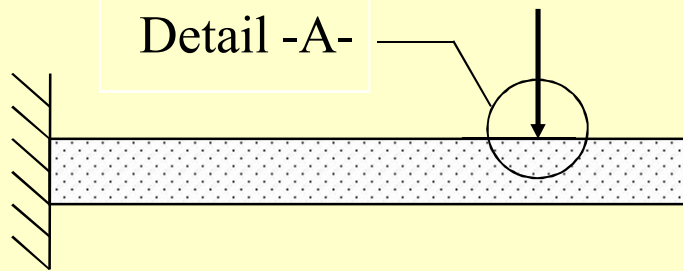
增加小孔后的有限元网格



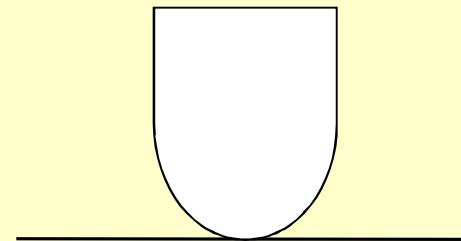
增加小孔后边界元网格

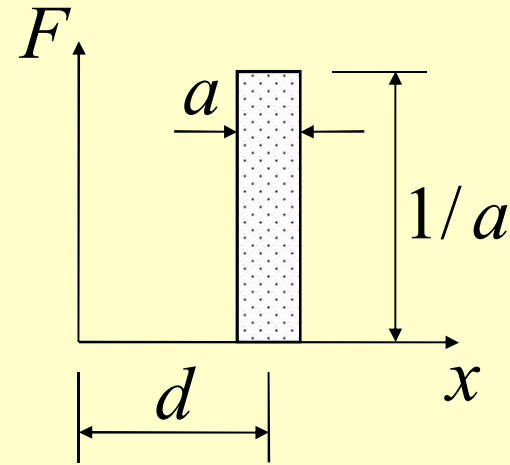
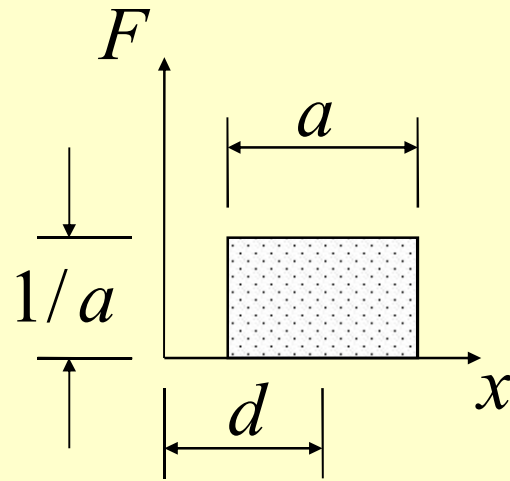


## Delta Function



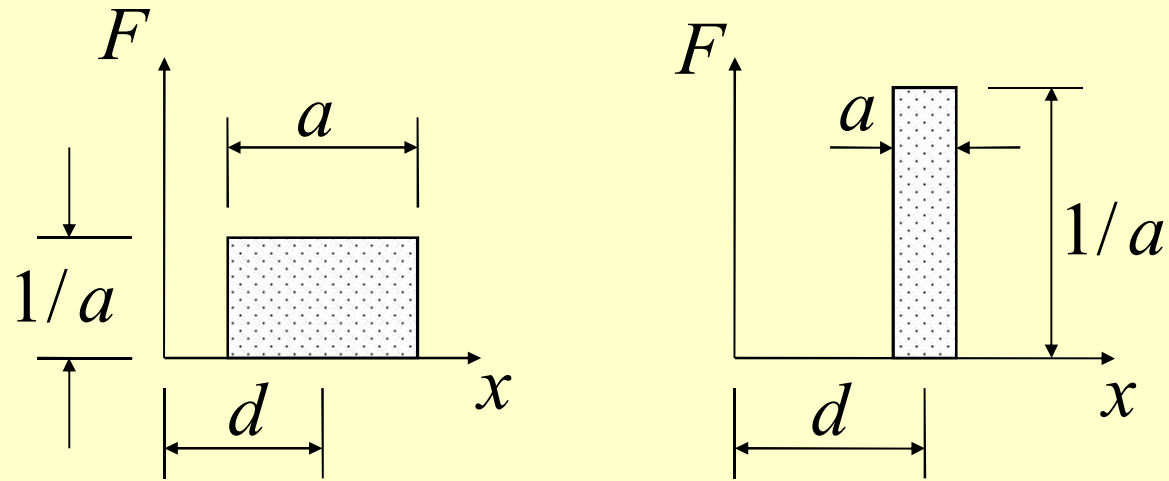
Detail -A-





$$F(x, d, a) = \begin{cases} 0; & x < d - \frac{a}{2} \\ \frac{1}{a}; & d - \frac{a}{2} \leq x \leq d + \frac{a}{2} \\ 0; & x > d + \frac{a}{2} \end{cases}$$

$$\delta(x - d) = \lim_{a \rightarrow 0} F(x, d, a)$$



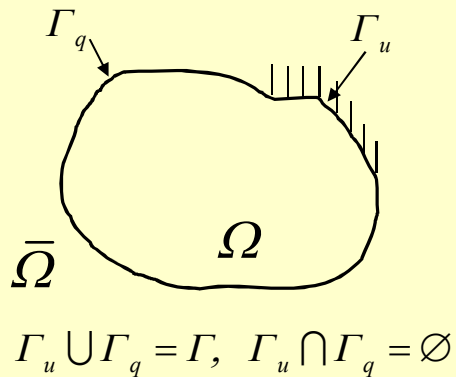
### Selection property

$$I(d, a) = \int_{-\infty}^{+\infty} g(x)F(x, d, a)dx = \int_{d-a/2}^{d+a/2} g(x)F(x, d, a)dx$$

$$\int_{-\infty}^{+\infty} g(x)\delta(x-d)dx = \lim_{a \rightarrow 0} I(d, a) = \left\{ g(\alpha) \frac{1}{a} \right\} a = g(d)$$

## 边界元法 (BEM)

二维稳态热传导问题



$$\nabla^2 u = \frac{\partial^2 u}{\partial x^2} + \frac{\partial^2 u}{\partial y^2} = 0 \quad (\text{在 } \Omega \text{ 内})$$

$$u - \bar{u} = 0 \quad (\text{在 } \Gamma_u \text{ 上})$$

$$\frac{\partial u}{\partial n} - \bar{q} = 0 \quad (\text{在 } \Gamma_q \text{ 上})$$

在有限元法的推导过程中, 我们得到

$$\int_{\Omega} v \left( \frac{\partial^2 u}{\partial x^2} + \frac{\partial^2 u}{\partial y^2} \right) dx dy = - \int_{\Omega} \left( \frac{\partial v}{\partial x} \frac{\partial u}{\partial x} + \frac{\partial v}{\partial y} \frac{\partial u}{\partial y} \right) dx dy + \oint_{\Gamma} v \frac{\partial u}{\partial n} d\Gamma$$

对  $\int_{\Omega} \left( \frac{\partial v}{\partial x} \frac{\partial u}{\partial x} + \frac{\partial v}{\partial y} \frac{\partial u}{\partial y} \right) dx dy$  继续用分部积分

$$\int_{\Omega} \frac{\partial v}{\partial x} \frac{\partial u}{\partial x} dx dy = \int_{\Gamma} \frac{\partial v}{\partial x} u n_x d\Gamma - \int_{\Omega} \frac{\partial^2 v}{\partial x^2} u dx dy$$

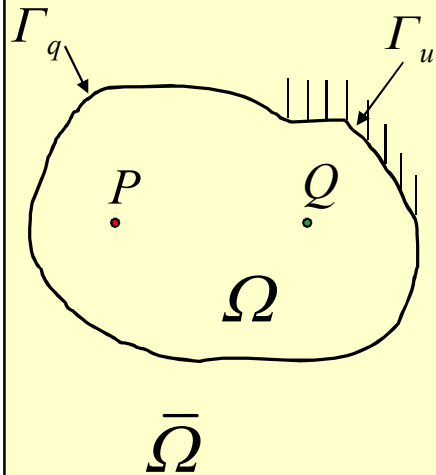
$$\int_{\Omega} \frac{\partial v}{\partial y} \frac{\partial u}{\partial y} dx dy = \int_{\Gamma} \frac{\partial v}{\partial y} u n_y d\Gamma - \int_{\Omega} \frac{\partial^2 v}{\partial y^2} u dx dy$$

从而有

$$\begin{aligned} \int_{\Omega} v \left( \frac{\partial^2 u}{\partial x^2} + \frac{\partial^2 u}{\partial y^2} \right) dx dy &= - \int_{\Omega} \left( \frac{\partial v}{\partial x} \frac{\partial u}{\partial x} + \frac{\partial v}{\partial y} \frac{\partial u}{\partial y} \right) dx dy + \int_{\Gamma} v \frac{\partial u}{\partial n} d\Gamma \\ &= \int_{\Omega} u \left( \frac{\partial^2 v}{\partial x^2} + \frac{\partial^2 v}{\partial y^2} \right) dx dy - \int_{\Gamma} \left( \frac{\partial v}{\partial x} n_x + \frac{\partial v}{\partial y} n_y \right) u d\Gamma + \int_{\Gamma} v \frac{\partial u}{\partial n} d\Gamma \\ &= \int_{\Omega} u \nabla^2 v d\Omega - \int_{\Gamma} \left( \frac{\partial v}{\partial n} u - v \frac{\partial u}{\partial n} \right) d\Gamma = 0 \end{aligned}$$

即

$$\int_{\Omega} u \nabla^2 v d\Omega = \oint_{\Gamma} \left( \frac{\partial v}{\partial n} u - v \frac{\partial u}{\partial n} \right) d\Gamma$$



由于  $v$  是任意的, 令

$$\nabla^2 v = \delta(Q, P) \quad v = \frac{1}{2\pi} \ln r(Q, P)$$

$$r(Q, P) = \sqrt{(x(Q) - x(P))^2 + (y(Q) - y(P))^2}$$

由  $\delta$  函数的性质

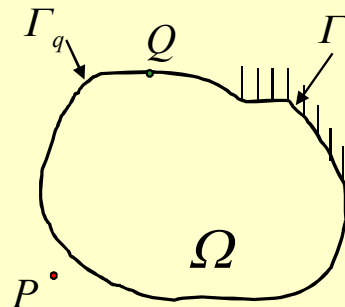
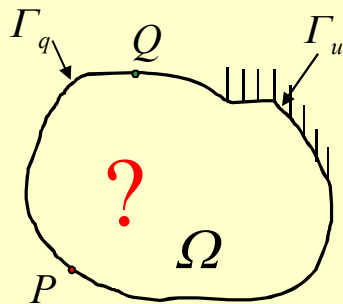
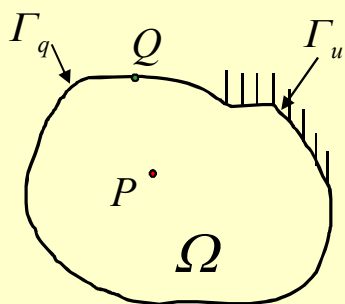
$$\int_{\Omega} \delta(Q, P) u d\Omega = \begin{cases} u(P), & \forall P \in \Omega \\ 0, & \forall P \in \bar{\Omega} \end{cases}$$



得到

$$u(P) = \oint_{\Gamma} \left( \frac{\partial v(P, Q)}{\partial n} u(Q) - v(P, Q) \frac{\partial u}{\partial n}(Q) \right) d\Gamma(Q), \quad \forall P \in \Omega$$

$$0 = \oint_{\Gamma} \left( \frac{\partial v(P, Q)}{\partial n} u(Q) - v(P, Q) \frac{\partial u}{\partial n}(Q) \right) d\Gamma(Q), \quad \forall P \in \bar{\Omega}$$



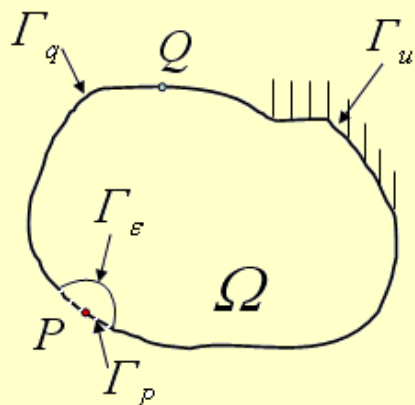
$$\int_{\Omega} \delta(Q, P) u d\Omega = \begin{cases} u(P), & \forall P \in \Omega \\ ? & \forall P \in \Gamma \\ 0, & \forall P \in \bar{\Omega} \end{cases}$$

当P在边界上，如何得到边界积分方程？

有两种途径。

➤ 途径一:

$$\oint_{\Gamma - \Gamma_P + \Gamma_\varepsilon} \left( \frac{\partial v(P, Q)}{\partial n} u(Q) - v(P, Q) \frac{\partial u(Q)}{\partial n} \right) d\Gamma(Q) = 0$$



其中

$$\int_{\Gamma_\varepsilon} v(P, Q) \frac{\partial u}{\partial n}(Q) d\Gamma(Q) = \frac{1}{2\pi} \ln(\varepsilon) \varepsilon \int_{\theta_1}^{\theta_2} \frac{\partial u}{\partial n}(Q) d\theta$$

应用罗必达法则

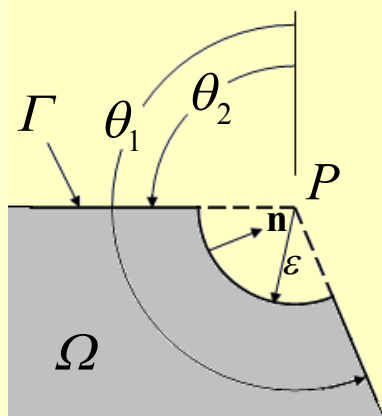
$$\lim_{\varepsilon \rightarrow 0} \ln(\varepsilon) \varepsilon = \lim_{\varepsilon \rightarrow 0} \frac{\ln(\varepsilon)}{\varepsilon^{-1}} = \lim_{\varepsilon \rightarrow 0} \frac{\varepsilon^{-1}}{-\varepsilon^{-2}} = \lim_{\varepsilon \rightarrow 0} -\varepsilon = 0$$

又

$$\int_{\Gamma_\varepsilon} \frac{\partial v(P, Q)}{\partial n} u(Q) d\Gamma(Q) = \frac{1}{2\pi} \frac{-1}{\varepsilon} \int_{\theta_1}^{\theta_2} u(Q) \varepsilon d\theta$$

$$\lim_{\varepsilon \rightarrow 0} \frac{1}{2\pi} \frac{-1}{\varepsilon} \int_{\theta_1}^{\theta_2} u(Q) \varepsilon d\theta = \frac{\theta_1 - \theta_2}{2\pi} u(P)$$

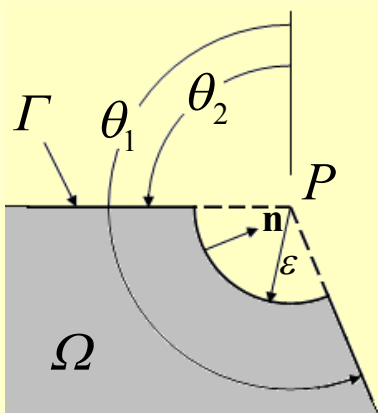
及  $\lim_{\varepsilon \rightarrow 0} (\Gamma - \Gamma_P) = \Gamma$       综合以上得到



$$C(P)u(P) = \oint_{\Gamma} \left( \frac{\partial v(P, Q)}{\partial n} u(Q) - v(P, Q) \frac{\partial u(Q)}{\partial n} \right) d\Gamma(Q)$$

其中

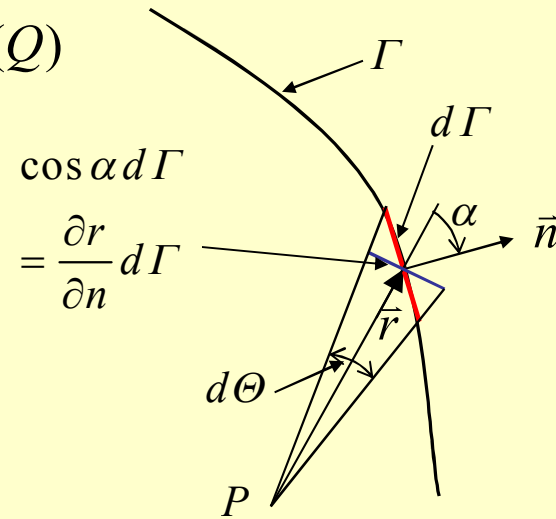
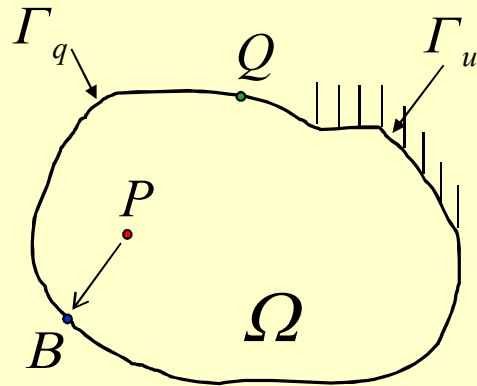
$$C(P) = \begin{cases} 0, & \forall P \in \bar{\Omega} \\ 1, & \forall P \in \Omega \\ \frac{1}{2}, & P \text{ is on a smooth portion of } \Gamma \\ \frac{(\theta_2 - \theta_1)}{2\pi}, & P \text{ is at a sharp corner on } \Gamma \end{cases}$$



➤ 途径二:

$$u(P) = \oint_{\Gamma} \left( \frac{\partial v(P, Q)}{\partial n} u(Q) - v(P, Q) \frac{\partial u}{\partial n}(Q) \right) d\Gamma(Q), \quad \forall P \in \Omega$$

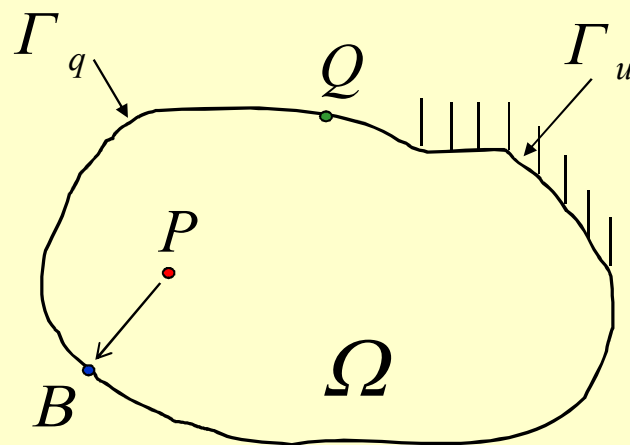
$$u(P) = \oint_{\Gamma} \left( \frac{\partial v(P, Q)}{\partial n} [u(Q) - u(B)] - v(P, Q) \frac{\partial u}{\partial n}(Q) \right) d\Gamma(Q) \\ + u(B) \oint_{\Gamma} \frac{\partial v(P, Q)}{\partial n} d\Gamma(Q)$$



$$\oint_{\Gamma} \frac{\partial v(P, Q)}{\partial n} d\Gamma(Q) = \oint_{\Gamma} \frac{1}{2\pi} \frac{\partial \ln r}{\partial n} d\Gamma = \frac{1}{2\pi} \oint_{\Gamma} \frac{1}{r} \frac{\partial r}{\partial n} d\Gamma = \frac{1}{2\pi} \oint_{\Gamma} d\Theta = 1$$

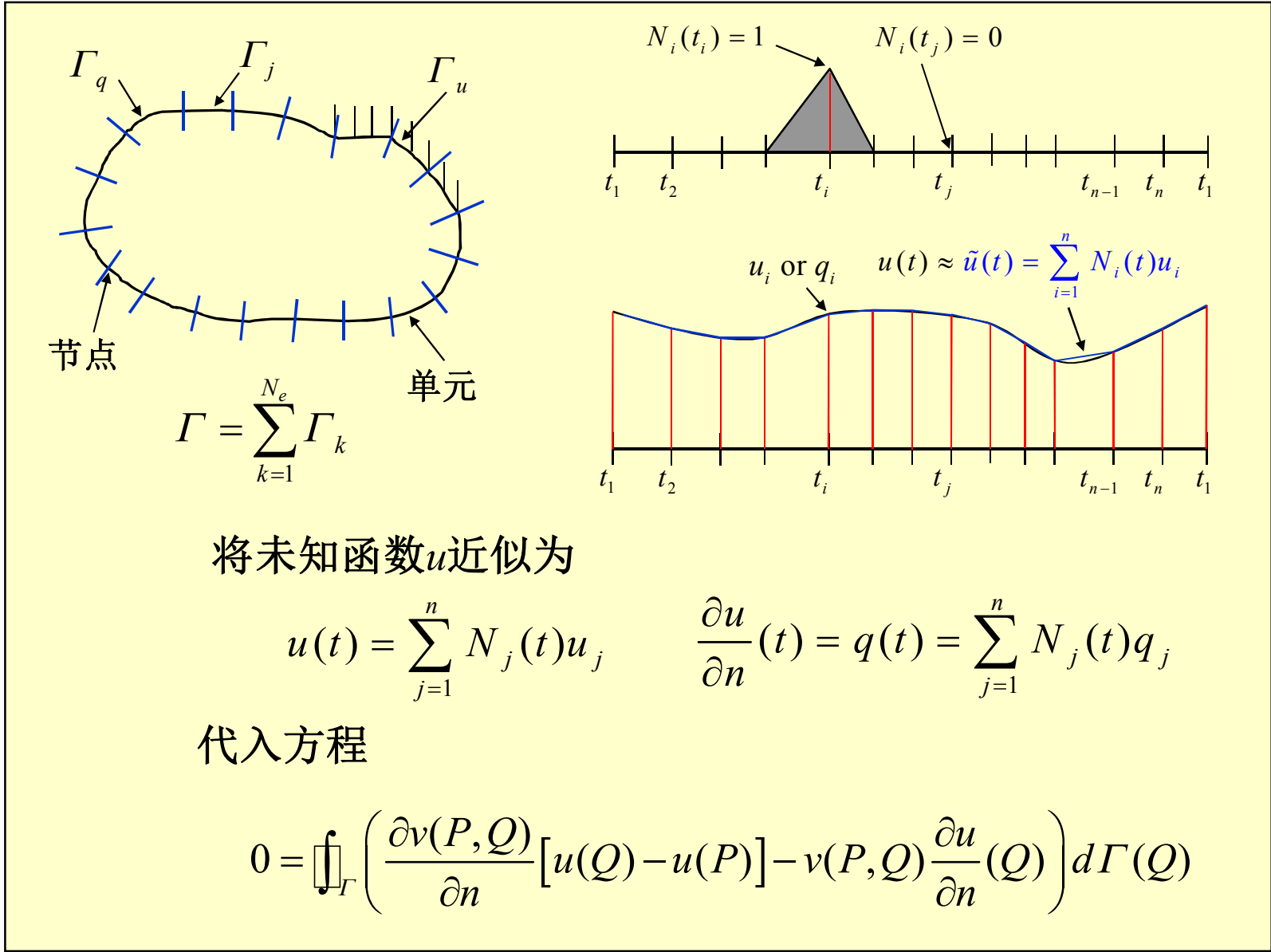
于是得到

$$u(P) - u(B) = \iint_{\Gamma} \left( \frac{\partial v(P, Q)}{\partial n} [u(Q) - u(B)] - v(P, Q) \frac{\partial u}{\partial n}(Q) \right) d\Gamma(Q)$$



让  $P$  趋近  $B$ , 得到

$$0 = \iint_{\Gamma} \left( \frac{\partial v(P, Q)}{\partial n} [u(Q) - u(P)] - v(P, Q) \frac{\partial u}{\partial n}(Q) \right) d\Gamma(Q)$$



得到

$$\sum_{k=1}^{N_e} \int_{\Gamma_k} \left( \frac{\partial \ln r(t, P)}{\partial n} \left[ \sum_{j=1}^n N_j(t) u_j - u(P) \right] - \ln r(t, P) \sum_{j=1}^n N_j(t) q_j \right) d\Gamma(t) = 0$$

取 $P$ 分别为所有节点 $t_i$ ,  $i=1,2,\dots,n$ , 得到代数方程组

$$(\mathbf{H} - \mathbf{D})\mathbf{u} - \mathbf{G}\mathbf{q} = \mathbf{0}$$

其中,  $\mathbf{D}$ 是对角矩阵

$$H_{ij} = \sum_{k=1}^{N_e} \int_{\Gamma_k} \frac{\partial \ln r(t, t_i)}{\partial n} N_j(t) d\Gamma(t)$$

$$D_{ii} = \sum_{k=1}^{N_e} \int_{\Gamma_k} \frac{\partial \ln r(t, t_i)}{\partial n} d\Gamma(t)$$

$$G_{ij} = \sum_{k=1}^{N_e} \int_{\Gamma_k} \ln r(t, t_i) N_j(t) d\Gamma(t)$$

$$\mathbf{u} = \begin{Bmatrix} u_1 \\ u_2 \\ \vdots \\ u_n \end{Bmatrix} \quad \mathbf{q} = \begin{Bmatrix} q_1 \\ q_2 \\ \vdots \\ q_n \end{Bmatrix}$$

对任意节点，要么 $u_k$ 已知，要么 $q_k$ 已知。将已知量乘以矩阵相应的列，并移到方程的右边，得到

$$\mathbf{Ax} = \mathbf{b}$$

其中， $\mathbf{x}$ 由未知的 $u_k$ 和 $q_k$ 组成。解出此方程就可以得到所有未知边界未知量。

再利用积分方程

$$u(P) = \sum_{k=1}^{N_e} \int_{\Gamma_k} \left( \frac{\partial \ln r(t, P)}{\partial n} \sum_{j=1}^n N_j(t) u_j - \ln r(t, P) \sum_{j=1}^n N_j(t) q_j \right) d\Gamma(t)$$

可求得域内任意点的函数值。



## 总结 (1) ) —— 三种方法的比较

	<b>FDM</b>	<b>FEM</b>	<b>BEM</b>	<b>Advances in BEM</b>
方程推导	零次分部积分	一次分部积分	两次分部积分	
主要应用范围	流体	固体结构	固体结构	固体结构
网格离散	规则网格	不规则, 适应性强	只在边界上离散, 降维	
无限域问题 (声场、地震等)	不适应	不适应	特别适应	
奇异性问题 (裂纹分析)	不适应	不适应	特别适应	
非均质问题 非线性问题	适应	适应	不适应	DRM 适应
系数矩阵的计算和存储复杂度	稀疏矩阵 $O(n)$	对称稀疏矩阵 $O(n)$	非对称满阵 $O(n^2)$	FMM $O(n)$
方程求解计算量量级 (迭代法)	$O(n)$	$O(n)$	$O(n^2)$	FMM $O(n)$
施加边界条件	不自然	比较自然	特别自然	
方法成熟度	已成熟	基本成熟	尚未成熟	热门研究中
计算精度	不高	高, 但应力精度比位移精度低一阶	非常高, 且应力和位移具有同样的精度	
与CAD接口	困难	困难	容易做到无缝连接	

## 总结（2）——数值求解的基本过程

- 导出微分方程等效的差分或积分形式（FDM、FEM、BEM）；
- 用网格将求解域离散；
- 用简单的函数（如多项式）逼近未知的连续场函数，其大小决定于网格节点值。这样就将一个无限自由度的连续场函数用有限个未知量表示，从而使得数值计算成为可能（可算化）；
- 通过数值微分（差分）和数值积分，将等效差分或积分方程转化为以节点值为未知数的线性代数方程组；
- 通过求解线性代数方程组得到所有节点值，从而得到未知场函数的近似解；

## 本课程的后续章节

- 函数近似
  - 插值法
  - 函数拟合
- 数值积分和微分
- 线性代数方程组数值求解
  - 直接法
  - 迭代法